光学格子中の冷却Bose原子気体系に対する Markov型量子輸送方程式による緩和過程の解析

早稲田大学 基幹理工学部 桑原幸朗、中村祐介、今井良輔、對馬護人、山中由也

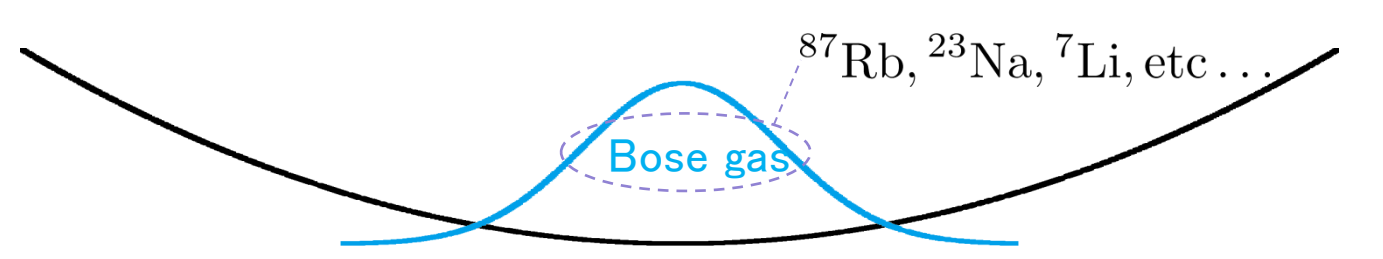
- 研究背景•目的
- Markov型量子輸送方程式の導出
- 数值計算結果

- 研究背景•目的
 - 冷却中性Bose気体系
 - Thermo Field Dynamics
 - 量子輸送方程式
 - 時間依存完全系
 - 研究目的
- Markov型量子輸送方程式の導出
- 数值計算結果

冷却中性Bose気体系

冷却中性Bose気体系

磁気トラップでBose気体を捕捉 \longrightarrow 極低温 $(nK \sim \mu K)$ まで冷却



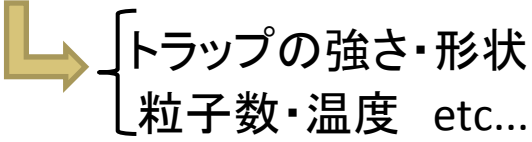
特徴

希薄(10^{13} ~ $10^{15} {
m cm}^{-3}$)な気体系相互作用が弱い



熱緩和がゆっくり

実験パラメータの高い制御性



非平衡系の理論に対する検証の場として優れている

Thermo Field Dynamics

Thermo Field Dynamics (TFD) 🗪 熱場の量子論に対する実時間正準形式の定式化

物理量の熱平均



通常は混合状態期待値 $\langle A \rangle = \mathrm{Tr}[A
ho]$ \qquad $\left[
ho : 密度行列
ight]$

TFDでは自由度を倍加し $a_{\ell} \Longrightarrow a_{\ell}, \tilde{a}_{\ell}$

純粋状態期待値で表せる $\langle A
angle = \langle 0|A|0
angle \quad igl[\langle 0|,|0
angle$: 熱的真空 igr]

 $\begin{pmatrix}
a_{\ell}^{\mu} = \begin{pmatrix} a_{\ell} \\ \tilde{a}_{\ell}^{\dagger} \end{pmatrix}^{\mu}, \ \bar{a}_{\ell}^{\nu} = \begin{pmatrix} a_{\ell}^{\dagger} & -\tilde{a}_{\ell} \end{pmatrix}^{\nu} \\
B_{\ell}^{\mu\nu} = \begin{pmatrix} 1 + n_{\ell} & -n_{\ell} \\ -1 & 1 \end{pmatrix}^{\mu\nu}
\end{pmatrix}$ 熱的真空を消去する演算子 \longrightarrow a, \tilde{a} ではなく ξ, ξ 熱的Bogoliubov変換 $a_\ell^\mu = B_\ell^{-1,\mu\nu} \xi_\ell^\nu$ $ar{a}^{
u}_{\ell} = ar{\xi}^{\mu}_{\ell} B^{\mu
u}_{\ell}$

Y. Nakamura, Y. Kuwahara, and Y. Yamanaka, JPS Conf. Proc. 1. 012098 (2014).

非平衡TFD

非平衡系では

時間依存する分布関数 $n_\ell(t) \equiv \langle 0|a_\ell^\dagger(t)a_\ell(t)|0\rangle$ を未知パラメータとして導入

TFDのハミルトニアン

全ハミルトニアン $\Rightarrow \hat{H} = H - \tilde{H}$

(チルダ・非チルダ両方を時間発展)

非摂動ハミルトニアン $\hat{H}_u(t)$ (相互作用描像の定義に必要)

$$\sum_{\ell} \omega_{\ell}(t) (a_{\ell}^{\dagger} a_{\ell} - \tilde{a}_{\ell}^{\dagger} \tilde{a}_{\ell})$$

要請:各時刻において準粒子描像が存在する

(自発的対称性の破れはないと仮定)

$$\Rightarrow \hat{H}_u(t) = \sum [\omega_{\ell}(t) - i\gamma_{\ell}(t)] \xi_{\ell}^{\dagger} \xi_{\ell} - [\omega_{\ell}(t) + i\gamma_{\ell}(t)] \tilde{\xi}_{\ell}^{\dagger} \tilde{\xi}_{\ell} - \hat{Q}(t)$$

$$\hat{Q}(t) = -i \sum_{\ell} \dot{n}_{\ell}(t) \xi_{\ell}^{\dagger} \tilde{\xi}_{\ell}^{\dagger}$$

 $\left(egin{array}{c} \omega_\ell :$ 準粒子エネルギー $\gamma_\ell :$ 準粒子の寿命の逆数

3つのパラメータ $\dot{n}_\ell\,,\,\omega_\ell\,,\,\gamma_\ell$

摂動論・Feynman図法で計算

➡ 自己エネルギーに対する自己無撞着な繰り込み条件により決定

 $n_\ell \Longrightarrow$ 量子輸送方程式

量子輸送方程式

Previous works

非平衡TFDを冷却中性Bose気体系に適用

$$H = \int d\mathbf{x} \left[\psi^{\dagger}(x) h_0(\mathbf{x}) \psi(x) + \frac{g}{2} \psi^{\dagger}(x) \psi^{\dagger}(x) \psi(x) \psi(x) \right]$$

$$x = (\mathbf{x}, t)$$

non-Markov型量子輸送方程式が導出される

(摂動2次)



Y. Nakamura et al., Ann. Phys. (N.Y.) 325, 426 (2010). etc...

$$\dot{n}_{\ell}(t) = 4g^2 \int_{-\infty}^{t} ds \sum_{m} C_{m\ell} N_{m\ell}[n(s)] \cos \left\{ \int_{s}^{t} d\tau \ \bar{\omega}_{m\ell}(\tau) \right\} \exp \left\{ - \int_{s}^{t} d\tau \ \bar{\gamma}_{m\ell}(\tau) \right\}$$

場の量子論に基づくと 自然とnon-Markov型

エネルギー保存



わずかな非保存を許す

過去を忘れる効果

(c.f. 量子Boltzmann方程式ならデルタ関数)

$$\begin{pmatrix}
\mathbf{m} \equiv (m_1, m_2, m_3) \\
N_{\mathbf{m}\ell}[n] = n_{m_1} n_{m_2} (1 + n_{m_3}) (1 + n_{\ell}) - (1 + n_{m_1}) (1 + n_{m_2}) n_{m_3} n_{\ell} \\
\bar{\omega}_{\mathbf{m}\ell} = \omega_{m_1} + \omega_{m_2} - \omega_{m_3} - \omega_{\ell} \\
\bar{\gamma}_{\mathbf{m}\ell} = \gamma_{m_1} + \gamma_{m_2} + \gamma_{m_3} + \gamma_{\ell}
\end{pmatrix}$$
(衝突項)

- 量子輸送方程式の拡張
 - ▶ 外場が時間依存するモデルへの適用

(時間依存する正規直交完全系による場の演算子の展開)

桑原幸朗, 物性研究·電子版 Vol. 1 No. 1, 4994 (2012).

Y. Kuwahara, Y. Nakamura, and Y. Yamanaka, JPS Conf. Proc. 1. 012101 (2014).

H. Matsumoto and S. Sakamoto, Prog. Theor. Phys. 107, 689 (2002).

時間依存完全系

エネルギーの繰り込みは考えない

有限温度で考える

非摂動ハミルトニアン
$$H_0(t) = \int \!\! d{m x} \; \psi^\dagger(x) h_0(x) \psi(x)$$

$$\begin{pmatrix} h_0(x) = -\frac{{m \nabla}^2}{2m} + V(x) \\ x = ({m x},t) \end{pmatrix}$$

$$V(x) = V(x)$$
 の場合

場の演算子を $h_0({m x})$ の固有関数で展開 $\implies \psi(x) = \sum_\ell u_\ell({m x}) e^{-i\omega_\ell t} a_\ell$ $\Big[h_0({m x}) u_\ell({m x}) = \omega_\ell u_\ell({m x}) \Big]$

$$[h_0(\boldsymbol{x})u_\ell(\boldsymbol{x}) = \omega_\ell u_\ell(\boldsymbol{x})]$$

$$V(x) \neq V(x)$$
 の場合

場の演算子を時間依存する正規直交完全系で展開 $\implies \left|\psi(x) = \sum v_\ell(x) a_\ell(t)\right|$

$$\psi(x) = \sum_{\ell} v_{\ell}(x) a_{\ell}(t)$$

$$v_\ell(x)$$
の時間発展方程式 \Longrightarrow $i\frac{\partial}{\partial t}v_\ell(x)=h_0(x)v_\ell(x)$

時間依存しない真空を定義できる

$$\left(\longrightarrow V(x) = V(x)$$
 の場合で $v_\ell(x) = u_\ell(x) e^{-i\omega_\ell t}$ に対応 $\left(\bigvee_{i=1}^{\ell} V(x) = V(x) \right)$

研究目的

時間依存完全系で展開した場合の量子輸送方程式

$$\dot{n}_{\ell}(t) = 4g^{2} \operatorname{Re} \int_{-\infty}^{t} ds \sum_{\boldsymbol{m}} I_{\boldsymbol{m}\ell}^{*}[\boldsymbol{v}(t)] I_{\boldsymbol{m}\ell}[\boldsymbol{v}(s)] N_{\boldsymbol{m}\ell}[\boldsymbol{n}(s)] \exp \left\{ -\int_{s}^{t} d\tau \ \bar{\gamma}_{\boldsymbol{m}\ell}(\tau) \right\}$$

時間依存完全系によって...

$$\begin{pmatrix} I_{\boldsymbol{m}\ell}[v(t)] = \int\!\! d\boldsymbol{x} \ v_{m_1}^*(x) v_{m_2}^*(x) v_{m_3}(x) v_{\ell}(x) \\ \mathbf{x} \\ \mathbf$$

- 場の量子論の処方に従えば、量子輸送方程式は自然とnon-Markov型になる
- 時間依存する外場を考える場合、時間依存完全系で場の演算子を展開

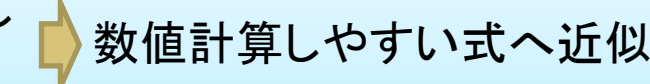


複雑な連立微積分方程式で数値計算コストが非常に高い

「今までは粒子数の少ない系を考えることで対処していた → 実験との比較は難しい…

研究目的:

- non-Markov型量子輸送方程式の特徴をなるべく残し
- 時間依存完全系を使う形式で



―― 得られた量子輸送方程式を光学格子系へ適用



- 研究背景•目的
- Markov型量子輸送方程式の導出
 - Markov化
 - Markov型量子輸送方程式
- 数值計算結果

Markov化

方針: non-Markov型量子輸送方程式の時間積分を解析的に処理する

固有関数 $\{u_\ell({m x})\}$ & $\gamma_\ell=0$ の場合

$$\dot{n}_{\ell}(t) = 4g^2 \int_{-\infty}^{t} ds \sum_{\boldsymbol{m}} \left| I_{\boldsymbol{m}\ell}[u] \right|^2 N_{\boldsymbol{m}\ell}[n(s)] \cos \left\{ \int_{s}^{t} d\tau \ \bar{\omega}_{\boldsymbol{m}\ell}(\tau) \right\}$$



 n_{ℓ} や ω_{ℓ} の時間変化はゆっくりとする $n_{\ell}(s) \to n_{\ell}(t) \quad \omega_{\ell}(\tau) \to \omega_{\ell}(t)$

 $\dot{n}_{\ell}(t) = 4\pi g^2 \sum \left| I_{m\ell}[u] \right|^2 N_{m\ell}[n(t)] \, \delta(\bar{\omega}_{m\ell}(t))$ (量子Boltzmann方程式)

時間依存完全系 $\{v_\ell(x)\}$ & $\gamma_\ell \neq 0$ の場合

$$\dot{n}_{\ell}(t) = 4g^{2} \operatorname{Re} \int_{-\infty}^{t} ds \sum_{\boldsymbol{m}} I_{\boldsymbol{m}\ell}^{*}[v(t)] I_{\boldsymbol{m}\ell}[v(s)] \ N_{\boldsymbol{m}\ell}[n(s)] \exp \left\{ - \int_{s}^{t} d\tau \ \bar{\gamma}_{\boldsymbol{m}\ell}(\tau) \right\}$$

 γ_ℓ は ω_ℓ と同様の処方 \Longrightarrow $\gamma_\ell(au) \to \gamma_\ell(t)$

一方 $v_{\ell}(x)$ は一般に速い時間変化 \longrightarrow $v_{\ell}(x,s) \rightarrow v_{\ell}(x,t)$

$$\left(\text{c.f. }V(x)=V(x) \text{ に対し }v_{\ell}(x)=u_{\ell}(x)e^{-i\int^t\!d au\ \omega_{\ell}(au)}\right)$$

$$V(x) \neq V(\boldsymbol{x})$$
 では $v_{\ell}(x) = \underbrace{\tilde{v}_{\ell}(\boldsymbol{x})}_{\varrho^{-i}\int^t d\tau} \underbrace{\tilde{\omega}_{\ell}(\tau)}_{\bar{\omega}_{\ell}(\tau)}$ 文 $\underbrace{\tilde{v}_{\ell}(\boldsymbol{x},s) \to \tilde{v}_{\ell}(\boldsymbol{x},t)}_{\tilde{\omega}_{\ell}(\tau) \to \tilde{\omega}_{\ell}(t)}$



Markov型量子輸送方程式

non-Markov型量子輸送方程式

$$\dot{n}_{\ell}(t) = 4g^{2} \operatorname{Re} \int_{-\infty}^{t} ds \sum_{m} I_{m\ell}^{*}[v(t)] I_{m\ell}[v(s)] \ N_{m\ell}[n(s)] \exp \left\{ -\int_{s}^{t} d\tau \ \bar{\gamma}_{m\ell}(\tau) \right\}$$

Markov化

$$v_{\ell}(x) = \tilde{v}_{\ell}(x)e^{-i\int^{t} d\tau} \tilde{\omega}_{\ell}(\tau)$$

$$n_{\ell}(s) \to n_{\ell}(t) \qquad \tilde{\omega}_{\ell}(\tau) \to \tilde{\omega}_{\ell}(t)$$

$$\tilde{v}_{\ell}(\boldsymbol{x}, s) \to \tilde{v}_{\ell}(\boldsymbol{x}, t) \qquad \gamma_{\ell}(\tau) \to \gamma_{\ell}(t)$$

Markov型量子輸送方程式

$$\dot{n}_{\ell}(t) = 4g^2 \sum_{\boldsymbol{m}} \frac{|I_{\boldsymbol{m}\ell}[\tilde{\boldsymbol{v}}(t)]|^2}{|I_{\boldsymbol{m}\ell}[\tilde{\boldsymbol{v}}(t)]|^2} N_{\boldsymbol{m}\ell}[n(t)] \frac{\bar{\gamma}_{\boldsymbol{m}\ell}(t)}{\bar{\omega}_{\boldsymbol{m}\ell}(t)^2 + \bar{\gamma}_{\boldsymbol{m}\ell}(t)^2}$$

$$i\frac{\partial}{\partial t}\tilde{v}_{\ell}(x) = \int \!\! d\boldsymbol{x}' \ h(x,x')\tilde{v}_{\ell}(x') - \tilde{\omega}_{\ell}(t)\tilde{v}_{\ell}(x)$$
 $\qquad \qquad \tilde{\omega}_{\ell}(t) = \int \!\! d\boldsymbol{x}d\boldsymbol{x}' \ \tilde{v}_{\ell}^{*}(x)h(x,x')\tilde{v}_{\ell}(x')$

$$\tilde{\omega}_{\ell}(t) = \int d\boldsymbol{x} d\boldsymbol{x}' \ \tilde{v}_{\ell}^{*}(x) h(x, x') \tilde{v}_{\ell}(x')$$

エネルギーの非保存性を取り入れた形式

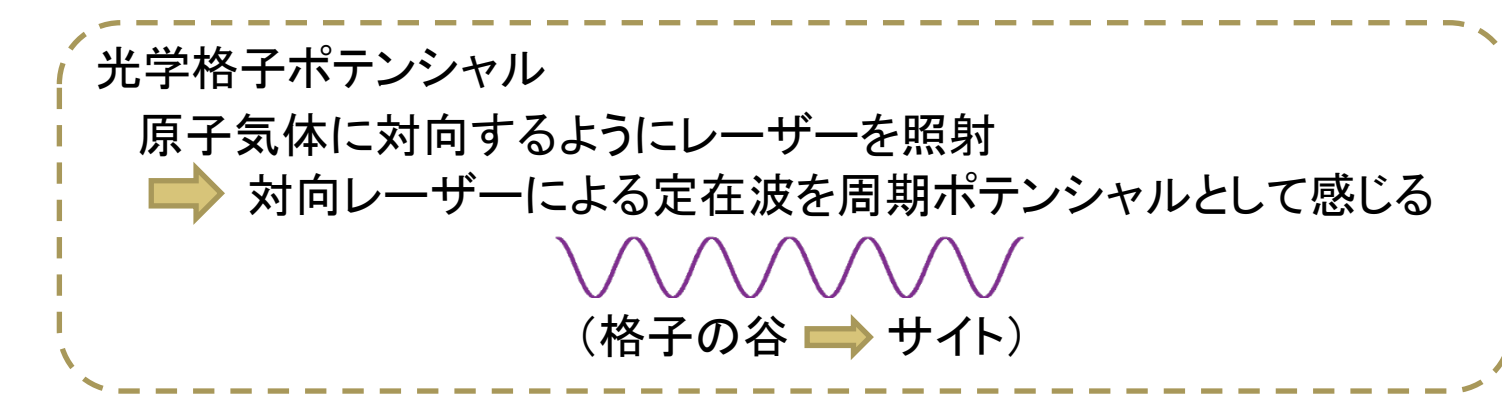
 $\left[h(x, x') = \delta(\mathbf{x} - \mathbf{x}')h_0(x) + \delta\varepsilon(x, x')\right]$

時間依存完全系を使った形式

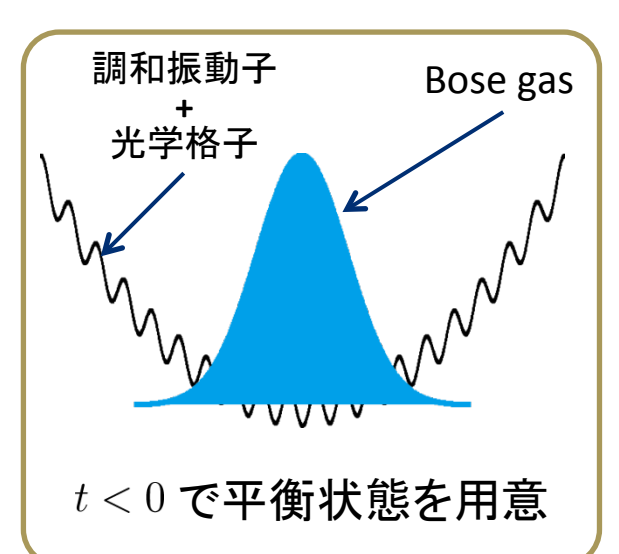
(エネルギーの繰り込みによる補正)

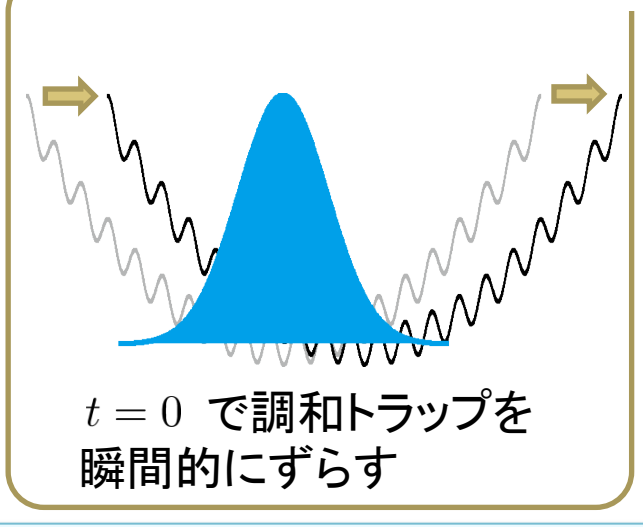
$$\left(\gamma_\ell o 0$$
 & $ilde{v}_\ell(x) o u_\ell(oldsymbol{x})$ 量子Boltzmann方程式 $\right)$

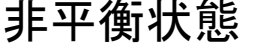
- 研究背景•目的
- Markov型量子輸送方程式の導出
- 数值計算結果
 - 光学格子ポテンシャル中のBose気体
 - 気体の重心の非平衡過程

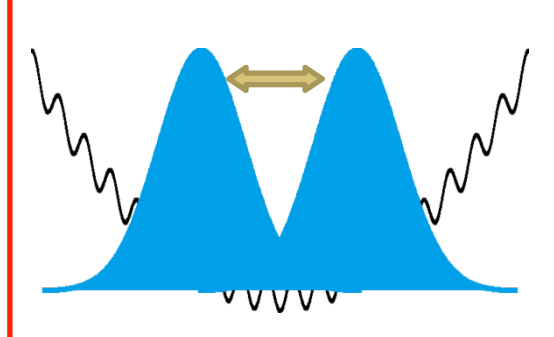


光学格子系









t>0で量子輸送方程式を 使って非平衡過程を見る

Bose-Hubbard Hamiltonian

$$H(t) = H_0(t) + H_{\rm int}$$

$$H_0(t) = \sum_{i} \left[-J\psi_i^{\dagger}(t)(\psi_{i+1}(t) + \psi_{i-1}(t)) + \{(i + \theta(-t)d)^2 V - \mu\}\psi_i^{\dagger}(t)\psi_i(t) \right]$$

$$H_{\rm int} = \frac{U}{2} \sum_{i} \psi_i^{\dagger}(t) \psi_i^{\dagger}(t) \psi_i(t) \psi_i(t)$$

場の展開
$$\psi_i(t) = \sum_{\ell} v_{i\ell}(t) a_{\ell}(t)$$

D. Jaksh et al., Phys. Rev. Lett. **81**, 3108 (1998).

 $\int \! J$: ホッピング項

μ: 化学ポテンシャル

i:サイト番号

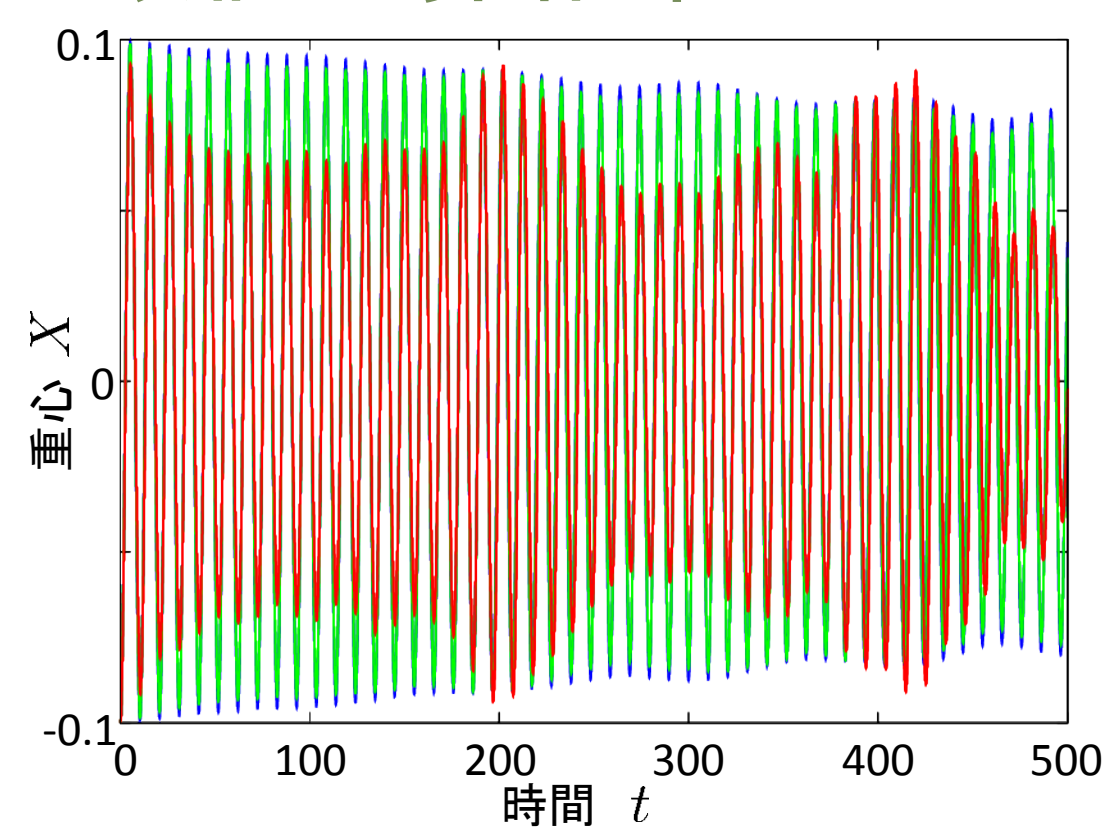
V:調和トラップの曲率

U: 相互作用定数

 I_S : 全サイト数

d:調和トラップのずらし幅

数值計算結果



重心

$$X(t) = \sum_{i,\ell} i |v_{i\ell}(t)|^2 n_{\ell}(t)/N$$

NUは一定でNを変えて計算

イパラメータ

$$k_{\rm B}T=1.0J$$
 (初期平衡温度)

$$V = 0.1J$$
 $NU = 0.1J$
 $I_S = 51$ $d = 0.1$

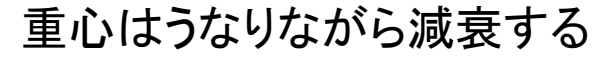
$$N = 10$$

$$N = 100$$

$$\begin{array}{c}
N = 100 \\
N = 1000
\end{array}$$



non-Markov型では数値計算 できなかったパラメータ領域 (今までは粒子数1桁)





うなり 🔷 光学格子による単なる量子的効果

減衰 🔷 量子輸送方程式を解くことで現れる熱的効果

粒子数 → 大 ➡ うなり → 小 、 減衰 → 大

まとめ

- non-Markov型量子輸送方程式をMarkov型量子輸送方程式へ近似
 - > エネルギー非保存性を取り入れた形式
 - > 時間依存完全系で場の演算子を展開した形式

- Markov型量子輸送方程式を光学格子系へ適用
 - > 重心の非平衡過程を数値計算 | 減衰
 - ➤ non-Markov型ではこれまで計算できなかった粒子数で数値計算

展望:実験と数値計算の比較